

МИНОБРНАУКИ РОССИИ
Федеральное государственное бюджетное образовательное учреждение
высшего образования
**«САРАТОВСКИЙ НАЦИОНАЛЬНЫЙ ИССЛЕДОВАТЕЛЬСКИЙ
ГОСУДАРСТВЕННЫЙ УНИВЕРСИТЕТ ИМЕНИ Н.Г.
ЧЕРНЫШЕВСКОГО»**
(СГУ)

Кафедра физики твердого тела

**РЕЗОНАНСНЫЕ ХАРАКТЕРИСТИКИ ВОЛНОВОДНЫХ БРЭГГОВСКИХ
СТРУКТУР В СВЧ-ДИАПАЗОНЕ С ИЗМЕНЯЕМОЙ СТРУКТУРОЙ
ОБЪЕМНОГО НАРУШЕНИЯ**
АВТОРЕФЕРАТ МАГИСТЕРСКОЙ РАБОТЫ

студентки 2 курса 2252 группы
направления 11.04.04 «Электроника и наноэлектроника»
института физики

Селивановой Ангелины Денисовны 

Научный руководитель:
профессор, д.ф.-м.н., профессор
должность, ученая степень, ученое звание


подпись, дата

А.В. Скрипаль
инициалы, фамилия

Зав. кафедрой физики твердого
тела:
профессор, д.ф.-м.н., профессор
должность, ученая степень, ученое звание


подпись, дата

А.В. Скрипаль
инициалы, фамилия

Саратов 2025

ВВЕДЕНИЕ

Фотонные кристаллы (ФК) представляют собой периодические структуры, обладающие способностью управлять распространением электромагнитных волн за счет формирования фотонных запрещенных зон (ФЗЗ). Особое внимание в последние годы уделяется СВЧ-фотонным кристаллам, реализуемым в волноводах, благодаря их высокой технологической доступности и перспективности для использования в телекоммуникационных, радиолокационных и сенсорных системах [1].

Актуальность работы обусловлена необходимостью создания адаптивных фильтров и резонаторов, чьи характеристики можно настраивать без физической замены элементов. Особый интерес вызывает изучение влияния нарушений периодичности, в том числе подвижных объемных дефектов, на резонансные характеристики СВЧ ФК. Исследование таких структур дает возможность проектировать перестраиваемые СВЧ-фильтры нового типа с регулируемыми спектральными свойствами [2].

Целью работы является исследование влияния структуры объемного дефекта на резонансные характеристики волноводного фотонного кристалла в СВЧ-диапазоне. Для достижения данной цели были поставлены следующие **задачи**:

1. Провести анализ современного состояния исследований в области фотонных кристаллов и методов их численного моделирования;
2. Разработать математическую модель фотонной структуры с перемещаемым объемным дефектом, реализовать ее в Mathcad и выполнить численное моделирование;
3. Провести экспериментальные измерения коэффициентов отражения и передачи в диапазоне 7-13 ГГц при различных положениях дефекта;
4. Сопоставить результаты моделирования с экспериментальными данными и проанализировать влияние положения дефекта на резонансные характеристики структуры.

В качестве объекта исследования рассматривается волноводный фотонный кристалл, собранный из чередующихся слоев поликора ($\epsilon = 9.6$, $d = 1$ мм) и фторопласта ($\epsilon = 2.1$, $d = 9$ мм), размещенный внутри прямоугольного волновода. В центральный воздушный слой вводится локальное нарушение – радиопоглощающее эластомерное нарушение с комплексной диэлектрической проницаемостью ($\epsilon = 13.12 - 0.65i$, $d = 1.17$ мм). Его перемещение вдоль оси структуры позволяет отслеживать изменение положения резонансной моды.

Работа состоит из четырех глав. В первой главе выполнен обзор фотонных кристаллов: представлены их физические свойства, классификация, принципы формирования запрещенных зон и применение дефектов. Во второй главе изложена теоретическая модель на основе метода матрицы передачи, приведены формулы и расчеты. Третья глава посвящена экспериментальному исследованию, в четвертой главе проводится сравнение теоретических и практических данных.

Научная новизна работы заключается в экспериментальном и теоретическом исследовании структуры с двойным нарушением периодичности – сочетанием воздушного зазора и перемещаемого эластомера, – ранее не описанной в опубликованной научной литературе. Впервые рассмотрена возможность спектральной перестройки резонансной моды за счет перемещения объемного дефекта по воздушному промежутку в ФК без изменения общей геометрии структуры.

Научная значимость работы связана с возможностью практического применения полученных результатов при проектировании перестраиваемых СВЧ-фильтров и сенсорных элементов, чувствительных к положению дефекта. Показана применимость метода матрицы передачи для моделирования сложных многослойных структур с перемещаемыми включениями.

ОСНОВНОЕ СОДЕРЖАНИЕ РАБОТЫ

В **первой главе** представлен обзор физической природы фотонных кристаллов и их применения в СВЧ-диапазоне. Рассмотрено понятие фотонной запрещенной зоны, возникающей в результате периодического чередования слоев с различной диэлектрической проницаемостью [3]. Описаны принципы формирования отражательных и передающих зон на основе брэгговского отражения, а также аналогии с зонной теорией в твердом теле [4].

Приведена классификация фотонных кристаллов по размерности (1D, 2D, 3D) и рассмотрены особенности одномерных структур, реализуемых в волноводах [5]. Одномерные ФК обладают высокой отражающей способностью при относительно простой конструкции, что делает их удобными для использования в качестве фильтров, резонаторов и сенсорных элементов в СВЧ-технике [6].

Рассмотрены основные свойства одномерных ФК, в том числе зависимость ширины запрещенной зоны от диэлектрического контраста и количества слоев [7]. Особое внимание уделено эффекту введения локального нарушения периодичности, которое вызывает появление узкой резонансной моды в пределах фотонной запрещенной зоны [8].

В завершение главы приведен обзор материалов, применяемых при построении фотонных кристаллов [9]. Обоснован выбор поликора и фторопласта на основе их электрофизических свойств.

Во **второй главе** для теоретического исследования резонансных характеристик одномерного фотонного кристалла с объемным дефектом в СВЧ-диапазоне был использован метод матрицы передачи. В качестве среды моделирования была выбрана программа Mathcad 15. Дополнительно для анализа и представления результатов использовался язык программирования Python.

Матрица передачи для j -го слоя с толщиной d_j и диэлектрической проницаемостью ϵ_j задается в виде [10]:

$$T(z_{j,j+1}) = \begin{pmatrix} \frac{\gamma_{j+1} + \gamma_j}{2\gamma_{j+1}} \exp((\gamma_{j+1} - \gamma_j)z_{j,j+1}) & \frac{\gamma_{j+1} - \gamma_j}{2\gamma_{j+1}} \exp((\gamma_{j+1} + \gamma_j)z_{j,j+1}) \\ \frac{\gamma_{j+1} - \gamma_j}{2\gamma_{j+1}} \exp(-(\gamma_{j+1} + \gamma_j)z_{j,j+1}) & \frac{\gamma_{j+1} + \gamma_j}{2\gamma_{j+1}} \exp(-(\gamma_{j+1} - \gamma_j)z_{j,j+1}) \end{pmatrix}, \quad (1)$$

Для всей структуры, состоящей из N слоев, общая матрица передачи T_N формируется как произведение матриц отдельных слоев. Учитывая последовательное расположение слоев от $j = 0$ до $j = N$, общая матрица выражается как:

$$T_N = \prod_{j=0}^N T_{j,j+1} = T(z_{N-1,N}) \cdot T(z_{N-2,N-1}) \cdots T(z_{1,2}) \cdot T(z_{0,1}). \quad (2)$$

Для расчета коэффициентов отражения и пропускания используются элементы общей матрицы T_N с учетом граничных условий на входе и выходе. Коэффициенты отражения S_{11} и пропускания S_{21} определяются как:

$$\begin{aligned} S_{11} &= -\frac{T_N[2,1]}{T_N[2,2]}, \\ S_{21} &= \frac{T_N[1,1]T_N[2,2] - T_N[1,2]T_N[1,1]}{T_N[2,2]}, \end{aligned} \quad (3)$$

Для точного расчета коэффициентов учитываются граничные условия, зависящие от волнового сопротивления среды и поперечных волновых чисел. В случае волноводно-неоднородной структуры поперечные волновые числа определяют поведение поля в разных областях структуры, включая области с дефектами и для каждого слоя определяются с учетом геометрии волновода и электродинамических свойств материала следующим образом:

$$\gamma_0 = \sqrt{\frac{\pi^2}{a^2} - \omega^2 \epsilon_0 \mu_0}, \quad (3)$$

$$\gamma_d = \sqrt{\frac{\pi^2}{a^2} - \omega^2 \epsilon_d \epsilon_0 \mu_0}, \quad (4)$$

$$\gamma_m = \sqrt{\frac{\pi^2}{a^2} - \omega^2 \epsilon_m \epsilon_0 \mu_0}, \quad (4)$$

Для обеспечения эффективного формирования резонансной моды при симметричном расположении дефекта, ширина центрального зазора подбиралась так, чтобы в его пределах укладывались две полуволны распределения поля. В результате оптимальная ширина промежутка между 5-м и 9-м слоями поликора была выбрана равной $L = 42$ мм.

Исходная структура состояла из 11 слоев, чередующихся по толщине и материалу: нечетные слои толщиной 1 мм выполнены из поликора ($\epsilon = 9.6$), четные – из фторопласта толщиной 9 мм ($\epsilon = 2.1$). Центральный (6-й) слой фторопласта был заменен на воздушный зазор, в который помещался поглощающий эластомер с размерами $23 \times 10 \times 1.17$ мм и комплексной диэлектрической проницаемостью $\epsilon = 13.12 - 0.65i$. В результате структура трансформировалась в 13-слойную: 6-й и 8-й слои соответствовали воздуху, а центральный 7-й слой – эластомеру.

В результате выполнения компьютерного моделирования сформированы зависимости частоты и амплитуды основного резонанса от положения эластомерного дефекта, представленные на рисунках 1 и 2. Из графика видно, что частота резонансной моды изменяется плавно и симметрично относительно центра структуры ($L = 20.5$ мм), что подтверждает наличие зеркальной симметрии распределения поля. Минимальная частота достигается при симметричных относительно центра положениях 8 мм и 33 мм, а максимальная – при центральном расположении и положениях эластомера у краев зазора.

В отличие от частоты, зависимость амплитуды резонансного пика имеет сложный, нерегулярный характер. В некоторых положениях (например, $L = 6$ мм и $L = 20.5$ мм) наблюдается значительное увеличение амплитуды (до -38 дБ и -30 дБ соответственно), тогда как в других – ее падение вплоть до -0.8 дБ. Такая флюктуация может быть связана с распределением поля внутри зазора: в ряде положений эластомер оказывается в области максимума поля, усиливая поглощение, в других – вблизи узла, слабо влияя на АЧХ.

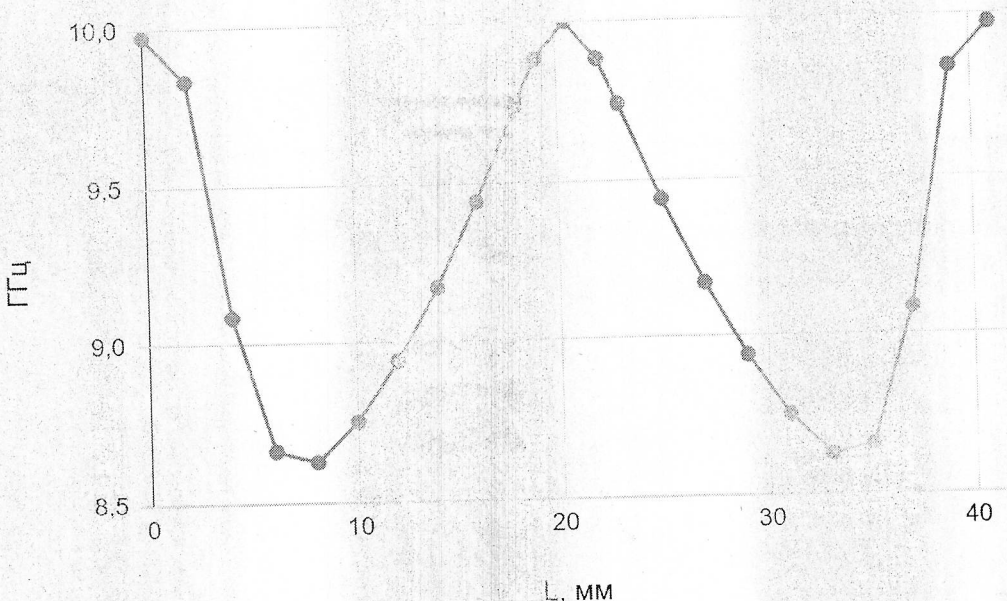


Рисунок 1 – Зависимость резонансной частоты от положения дефекта

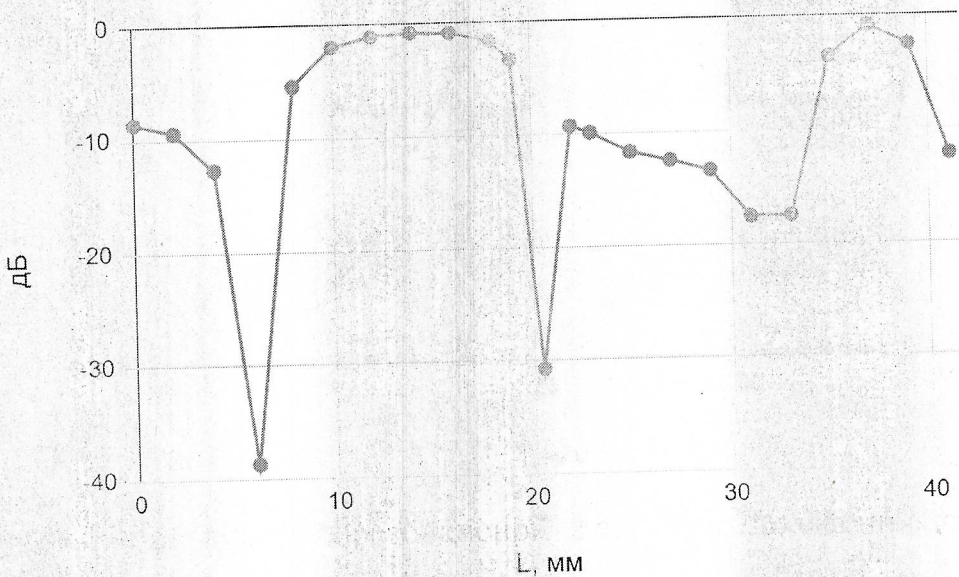


Рисунок 2 – Зависимость амплитуды резонанса от положения дефекта

В третьей главе описано экспериментальное исследование, проведенное с целью подтверждения результатов численного моделирования и анализа резонансных характеристик волноводного фотонного кристалла с объемным дефектом. Испытания выполнялись в диапазоне частот от 7 до 13 ГГц с использованием прямоугольного волновода и векторного анализатора цепей. Полученные данные позволили оценить влияние положения объемного дефекта на амплитудно-частотные характеристики структуры на практике.

Измерения коэффициентов отражения (S_{11}) и пропускания (S_{21}) выполнялись отдельно для каждого положения эластомера. Структура собиралась внутри латунного волновода, а положение эластомера изменялось вручную с помощью микрометра. Полученные данные сохранялись в формате и визуализировались в среде Python для построения АЧХ.

Для обобщения полученных данных были построены зависимости резонансной частоты и амплитуды от положения эластомерного дефекта (рисунки 3 и 4 соответственно). Частотная зависимость имеет симметричную форму относительно центрального положения ($L = 20.5$ мм), при этом частота изменяется от 8.3 до 10.1 ГГц. Это подтверждает наблюдаемую в моделировании зеркальную симметрию поля внутри структуры.

Зависимость амплитуды резонансного пика от положения дефекта, напротив, носит нерегулярный, флюктуирующий характер. Амплитуда резко падает в отдельных точках (например, при $L = 4$ мм и 35 мм), достигая значений ниже -40 дБ, тогда как в других положениях (например, при $L = 14$ мм) наблюдаются выраженные минимумы ослабления (до -0.19 дБ). Такая картина обусловлена сложным распределением поля внутри структуры, а также взаимодействием мод и поглощением в объемном дефекте.

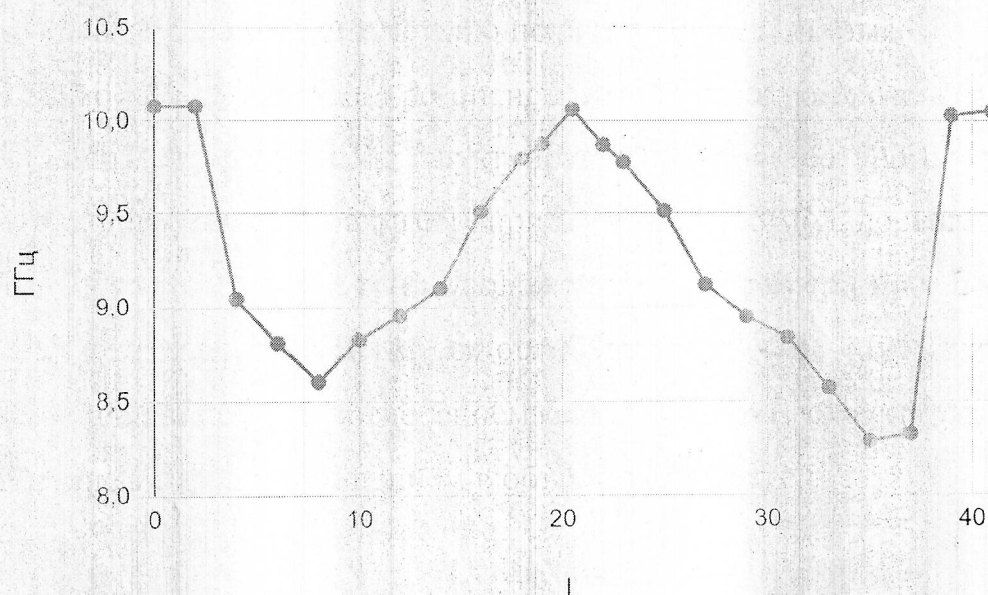


Рисунок 3 – Зависимость резонансной частоты от положения дефекта

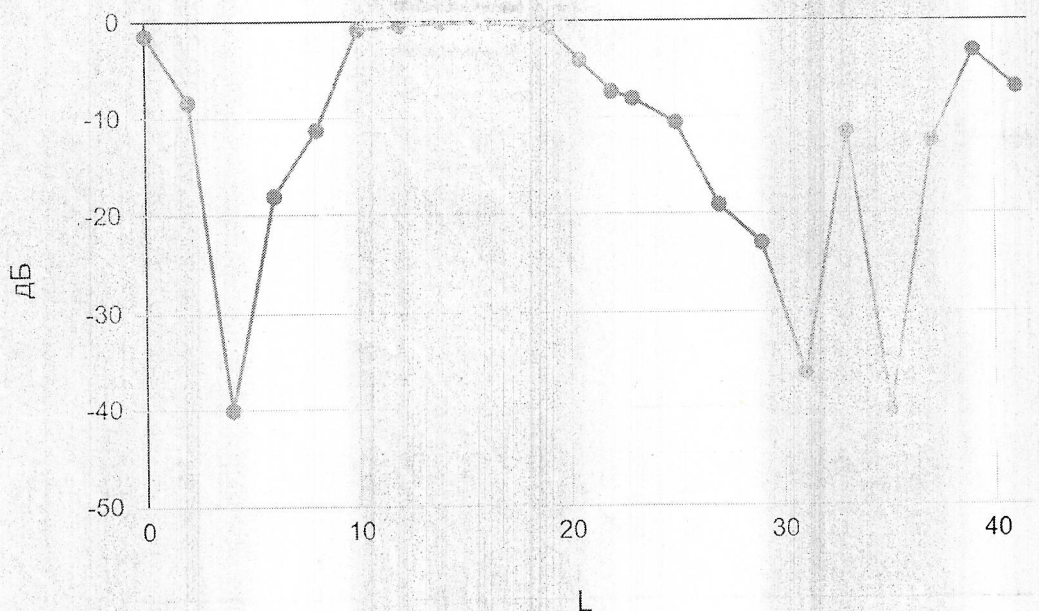


Рисунок 4 – Зависимость амплитуды резонанса от положения дефекта

В четвертой главе для оценки корректности численного моделирования и выявления расхождений между теорией и практикой были сопоставлены амплитудно-частотные характеристики и зависимости резонансных параметров, полученные в ходе эксперимента и моделирования. Сравнение проводилось по значениям коэффициентов отражения ($R = S_{11}$) и пропускания ($T = S_{21}$), представленных на одних графиках для каждой конфигурации.

На рисунке 5 представлена сравнительная зависимость резонансной частоты от положения дефекта, а на рисунке 6 – соответствующая зависимость амплитуды. На первом графике наблюдается хорошее согласование формы кривых: и в эксперименте, и в модели частота изменяется симметрично относительно центрального положения, достигая максимальных значений при смещении дефекта к краям и в центре структуры.

На втором графике поведение амплитуды в обоих случаях носит нелинейный и неустойчивый характер. В обеих кривых присутствуют резкие перепады, максимумы и провалы, не образующие четкой зависимости. Такое поведение может быть обусловлено сложной интерференцией внутри структуры, чувствительностью мод к конкретной конфигурации поля, а также влиянием экспериментальных факторов, включая механические отклонения и

поглощение в дефекте. Несмотря на расхождения, общая картина подтверждает высокую чувствительность амплитудных характеристик к положению дефектного слоя.

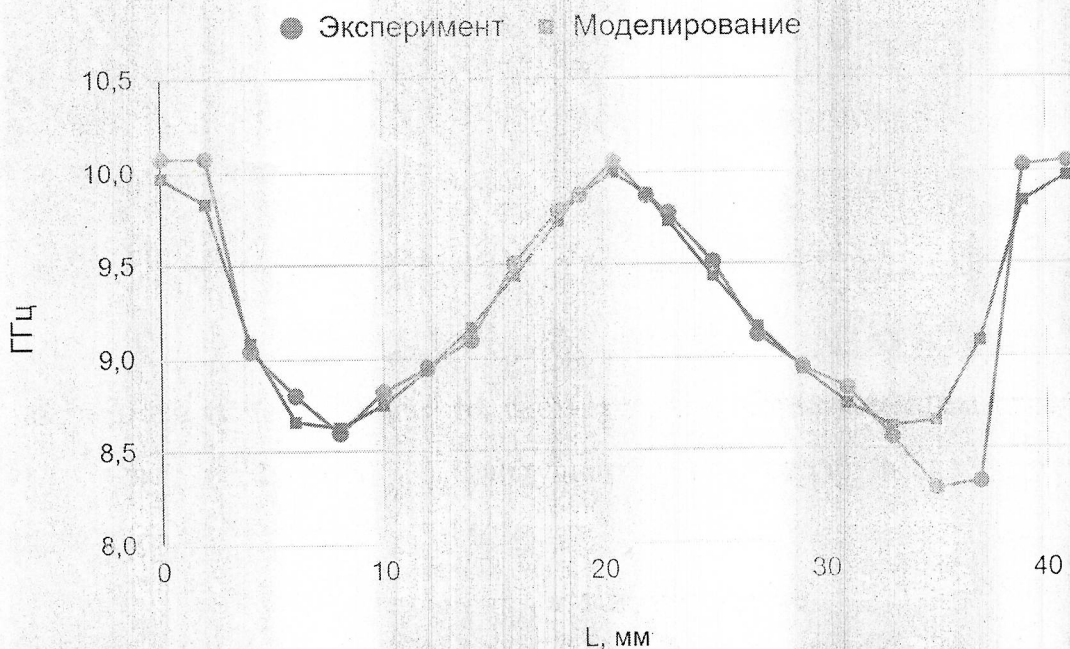


Рисунок 5 – Сравнение зависимости резонансной частоты основной моды от положения дефекта (моделирование и эксперимент)

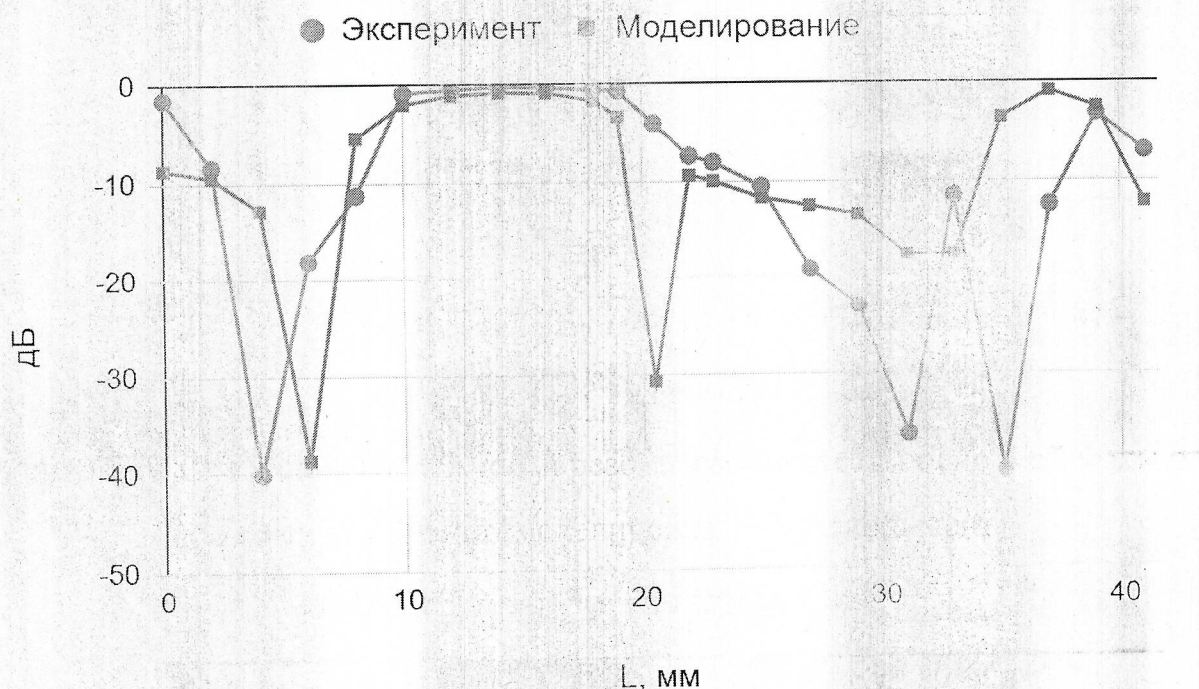


Рисунок 6 – Сравнение зависимости амплитуды резонансного пика от положения дефекта (моделирование и эксперимент)

ЗАКЛЮЧЕНИЕ

В ходе выполнения выпускной квалификационной работы была рассмотрена задача управления резонансными характеристиками одномерного фотонного кристалла с изменяемым объемным нарушением, помещенного в прямоугольный волновод. На основе проведенного моделирования и эксперимента были сделаны следующие выводы:

1. Разработана и реализована математическая модель фотонного кристалла с изменяемым нарушением. Модель построена с использованием метода матриц передачи. В среде Mathcad проведены расчеты коэффициентов отражения и пропускания в диапазоне 7-13 ГГц при различных структурах дефекта. Дополнительно выполнена визуализация распределения поля и частотных характеристик с помощью Python;
2. Изготовлен и протестирован экспериментальный образец фотонного кристалла, содержащий 11 чередующихся диэлектрических слоев, в которых центральный слой заменялся объемным воздушным нарушением с последующим введением перемещаемого радиопоглощающего эластомера. Измерения S-параметров в диапазоне 7-13 ГГц выполнены с использованием векторного анализатора цепей Agilent Technologies PNA-X N5242A;
3. Экспериментально подтверждена перестройка резонансной моды при смещении дефекта вдоль структуры. Полученные амплитудно-частотные характеристики демонстрируют хорошее качественное совпадение с результатами численного моделирования. Отмечены положения дефекта, при которых влияние на АЧХ оказывается минимальным, что связано с распределением поля в структуре;
4. Практическая значимость работы заключается в демонстрации возможности создания настраиваемых СВЧ-фильтров на основе фотонных кристаллов с внутренним дефектом. Управление положением резонансного пика может использоваться для разработки фильтров, резонаторов и сенсоров с адаптивными свойствами.

СПИСОК ИСПОЛЬЗОВАННЫХ ИСТОЧНИКОВ

1. Усанов Д. А., Никитов С. А., Скрипаль А. В., Пономарев Д. В. СВЧ фотонные кристаллы – новая разновидность периодических структур в радиоэлектронике: учеб. пособие. – Саратов: Изд-во Сарат. ун-та, 2016. – 84 с.
2. Усанов Д. А., Мерданов М. К., Скрипаль А. В., Пономарев Д. В. СВЧ фотонные кристаллы: новые сферы применения // Известия Саратовского ун-та. Новая серия. Физика. – 2015. – Т. 15, № 1. – С. 57–73.
3. Булыгина Е. В. и др. Наноразмерные структуры: классификация, формирование и исследование. – М., 2006.
4. Ивахненко Д. В., Пирогова А. А., Самаренкина С. З. К вопросу о классификации фотонных кристаллов // Современная техника и технологии. – 2015. – № 11. – С. 124–129.
5. Домкин К. И. Фотонные кристаллы и устройства // Труды Международного симпозиума «Надежность и качество». – 2012. – Т. 2. – С. 252–254.
6. Войтова Т. А., Сухоруков А. П. Фотонные кристаллы. – М.: МГУ им. М. В. Ломоносова, 2008.
7. Горелик В. С. Оптика глобуллярных фотонных кристаллов // Квантовая электроника. – 2007. – Т. 37, № 5. – С. 409–432.
8. Абрамова В. В., Синицкий А. С., Третьяков Ю. Д. Фотонные кристаллы с заданной шириной запрещенной зоны // Письма в Журнал экспериментальной и теоретической физики. – 2007. – Т. 86, № 5. – С. 370–373.
9. Гуляев Ю. В. и др. Низкоразмерные волноводные СВЧ-фотонные кристаллы // Доклады академии наук. – 2014. – Т. 458, № 4. – С. 406.
10. Усанов Д. А. и др. Волноводный фотонный кристалл, выполненный в виде диэлектрических матриц с воздушными включениями // Журнал технической физики. – 2016. – Т. 86, № 2. – С. 65–70.